

# 2024\_01\_25\_exam

April 23, 2024

## 1 Esame del 25 gennaio 2024

- Non si possono consultare libri, note, ed ogni altro materiale o persone durante l'esame ad eccezione delle funzioni Python fornite.
- Risolvere i seguenti esercizi con l'ausilio di Python.
- La durata del compito è di 90 minuti.
- Questo esame ha 3 domande, per un totale di 30/30 punti.
- Svolgere gli esercizi marcati con [T] su fogli protocollo, indicando: nome, cognome, codice persona e data

#Esercizio 1 (10 punti)

Consideriamo la seguente funzione definita sull'intervallo  $(-1, 1)$ .

$$f(x) = \frac{1}{1 + 25x^2}$$

- a) (3 punti) [P] Approssimare  $f$  mediante interpolazione polinomiale Lagrangiana su nodi equispaziati di grado  $n = [5, 10, 15]$ . Riportare graficamente i polinomi interpolanti ottenuti sovrapposti alla funzione  $f$  e l'errore in spazio; stampare a schermo il massimo dell'errore nei tre casi,

$$\text{err}_n = \max_{x \in (-1, 1)} |f(x) - \Pi_n f(x)|$$

Cosa osserviamo?

*Soluzione.* Possiamo costruire l'interpolazione polinomiale Lagrangiana su nodi equispaziati come segue:

```
[ ]: # Punto (a)
import numpy as np
import matplotlib.pyplot as plt

# Dati del problema
a,b = -1,1
fun = lambda x : 1/(1 + 25 * x**2)
```

```

grado = [5,10,15]
err_max = []

# Coordinate per plottare la funzione
x_dis = np.linspace(a,b,1000)
f_dis = fun(x_dis)

# Plot funzione
plt.figure(figsize = (15,5))
plt.subplot(1,2,1)
plt.plot(x_dis,f_dis,'g',linewidth = 2)
plt.title('Funzione e polinomi interpolanti su nodi equispaziati')
plt.xlabel('asse x')
plt.ylabel('asse y')
plt.grid()

plt.subplot(1,2,2)
plt.title('Errori di interpolazione con nodi equispaziati')
plt.xlabel('asse x')
plt.ylabel('asse y')
plt.grid()

for n in grado:
    # Nodi di interpolazione
    x_nod = np.linspace(a, b, n+1)
    f_nod = fun(x_nod)
    # Polinomio interpolante
    P = np.polyfit(x_nod, f_nod, n)
    # Coordinate per plottare l'interpolante
    poly_dis = np.polyval(P, x_dis)

    plt.subplot(1,2,1)
    plt.plot(x_dis, poly_dis, linewidth = 2)

    # Calcolo dell'errore
    err_dis = np.abs(poly_dis - f_dis)
    err_max.append(np.max(err_dis))

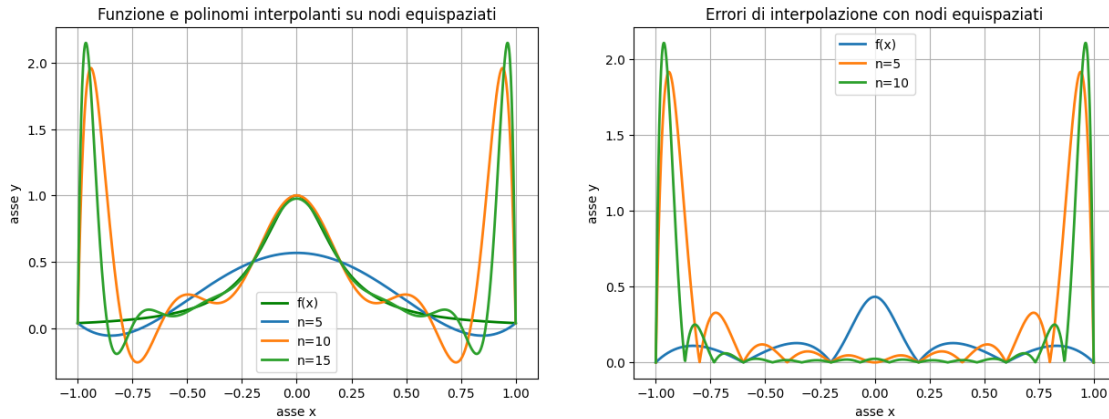
    # Plot errore
    plt.subplot(1,2,2)
    plt.plot(x_dis, err_dis, linewidth = 2)

plt.subplot(1,2,1)
plt.legend(['f(x)', 'n=5', 'n=10', 'n=15'])
plt.subplot(1,2,2)
plt.legend(['f(x)', 'n=5', 'n=10', 'n=15'])

```

```
plt.savefig('ese1_sol_a.png')
plt.show()

print('n \t\t err \n' + '-'*15)
for n in range(len(grado)):
    print('%d \t %f' %(grado[n], err_max[n]))
```



n	err
-----	
5	0.432669
10	1.915633
15	2.106860

Notiamo che aumentando il grado di approssimazione l'interpolante risulta meno accurato agli estremi dell'intervallo  $(-1, 1)$ , tipico fenomeno Runge associato all'interpolazione polinomiale Lagrangiana su nodi equispaziati. Infine il massimo errore è il seguente:

0.432669

1.915633

2.106860

- b) (4 punti) [T] Si discuta la stabilità e la convergenza dell'interpolazione polinomiale Lagrangiana su nodi equispaziati e su nodi di Chebychev-Gauss-Lobatto.

*Soluzione.* Data una funzione  $f$  definita su  $I$  e dati  $n + 1$  nodi  $x_i$ , considero la sua interpolazione Lagrangiana data da

$$\Pi_n f(x) = \sum_{i=0}^n f(x_i) \mathcal{L}_i(x) = \sum_{i=0}^n y_i \mathcal{L}_i(x),$$

dove  $\Pi_n$  è l'operatore di interpolazione che data una funzione  $f$  restituisce il polinomio interpolatore  $\pi_n$  negli  $n + 1$  punti  $x_i$ . Considero ora una funzione  $\tilde{f}$  ottenuta perturbando  $f$ : il suo interpolato è dato dalla seguente espressione

$$\Pi_n \tilde{f}(x) = \sum_{i=0}^n \tilde{f}(x_i) \mathcal{L}_i(x).$$

Possiamo calcolare la differenza tra l'interpolata di  $f$  e la sua perturbata per capire come si propagano le perturbazioni

$$\|\Pi_n f - \Pi_n \tilde{f}\|_\infty \leq \max_{i=0,\dots,n} |f(x_i) - \tilde{f}(x_i)| \max_{x \in I} \left| \sum_{i=0}^n \mathcal{L}_i(x) \right|$$

L'ultimo termine, che non dipende da  $f$  ma solo dai valori dei  $\mathcal{L}_i$  nei nodi  $x_i$ , è detto costante di Lebesgue e, per nodi equispaziati, è data da

$$\Lambda_n = \max_{x \in I} \left| \sum_{i=0}^n \mathcal{L}_i(x) \right| \approx \frac{2^{n+1}}{en \log(n + \gamma)}$$

tale valore cresce molto all'aumentare di  $n$  rendendo quindi non stabile l'interpolazione polinomiale Lagrangiana su nodi equispaziati. Nel caso in cui considerassimo i nodi Chebyshev-Gauss-Lobatto tale costante risulterebbe

$$\Lambda_n < \frac{2}{\pi} \log n$$

ha una crescita di tipo logaritmico in  $n$ .

Per quanto riguarda la convergenza, non è garantita nel caso di nodi uniformi, ovvero in generale

$$\lim_{n \rightarrow \infty} \max_{x \in I} |E_n f(x)| \neq 0.$$

Mentre per nodi di Chebyshev-Gauss-Lobatto il polinomio interpolatore  $\Pi_n f$  è tale che  $\Pi_n f \rightarrow f$  per  $n \rightarrow \infty$ , ovvero abbiamo convergenza all'aumentare del grado polinomiale.

c) (3 punti) [P] Ripetere quanto fatto al punto (a) per nodi di Chebyshev-Gauss-Lobatto.

*Soluzione.* Possiamo costruire l'interpolazione polinomiale Lagrangiana su nodi di Chebyshev-Gauss-Lobatto come segue:

```
[ ]: #Punto (c)
import numpy as np
import matplotlib.pyplot as plt

# Dati del problema
a,b = -1,1
fun = lambda x : 1/(1 + 25 * x**2)

grado = [5,10,15]
err_max = []
```

```

# Plot funzione
x_dis = np.linspace(a,b,1000)
f_dis = fun(x_dis)

plt.figure(figsize = (15,5))
plt.subplot(1,2,1)
plt.plot(x_dis,f_dis,'g',linewidth = 2)
plt.title('Funzione e polinomi interpolanti su nodi di Chebyshev')
plt.xlabel('asse x')
plt.ylabel('asse y')
plt.grid()

plt.subplot(1,2,2)
plt.title('Errori di interpolazione su nodi di Chebyshev')
plt.xlabel('asse x')
plt.ylabel('asse y')
plt.grid()

for n in grado:
    # Nodi di interpolazione
    k = np.arange(n+1)
    t = -np.cos(np.pi*k/n)
    x_nod = (a+b)/2 + ((b-a)/2)*t
    f_nod = fun(x_nod)
    # Polinomio interpolante
    P = np.polyfit(x_nod, f_nod, n)
    # Coordinate per plot interpolante
    poly_dis = np.polyval(P, x_dis)

    plt.subplot(1,2,1)
    plt.plot(x_dis, poly_dis, linewidth = 2)

    # Calcolo dell'errore
    err_dis = np.abs(poly_dis - f_dis)
    err_max.append(np.max(err_dis))

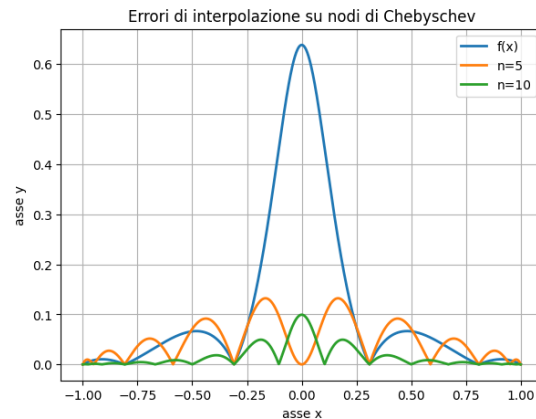
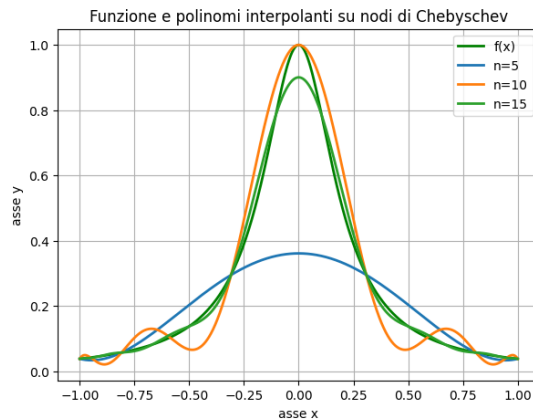
    plt.subplot(1,2,2)
    plt.plot(x_dis, err_dis, linewidth = 2)

plt.subplot(1,2,1)
plt.legend(['f(x)', 'n=5', 'n=10', 'n=15'])
plt.subplot(1,2,2)
plt.legend(['f(x)', 'n=5', 'n=10', 'n=15'])

plt.savefig('ese1_sol_c.png')
plt.show()

```

```
print('n \t\t err \n' + '-'*15)
for n in range(len(grado)):
    print('%d \t %f' %(grado[n], err_max[n]))
```



n	err
5	0.638617
10	0.132195
15	0.099308

Notiamo che aumentando il grado di approssimazione l'interpolante risulta più accurata su tutto l'intervallo  $(-1, 1)$ , non abbiamo più fenomeno di Runge associato all'interpolazione polinomiale Lagrangiana su nodi equispaziati.

Il massimo dell'errore che otteniamo è il seguente:

0.638617

0.132195

0.099308

## 2 Esercizio 2 (10 punti)

Si consideri la seguente funzione

$$f(x) = x^3 \sin(x-1) \quad \text{per } x \in (-1, 1)$$

a) (1 punto) [P] Si rappresenti  $f$  in Python e si identifichi il valore  $\alpha$  tale per cui  $f(\alpha) = 0$ .

*Soluzione.* Ecco un possibile script per rappresentare  $f$

```
[ ]: #Punto (a)
import matplotlib.pyplot as plt
import numpy as np
```

```

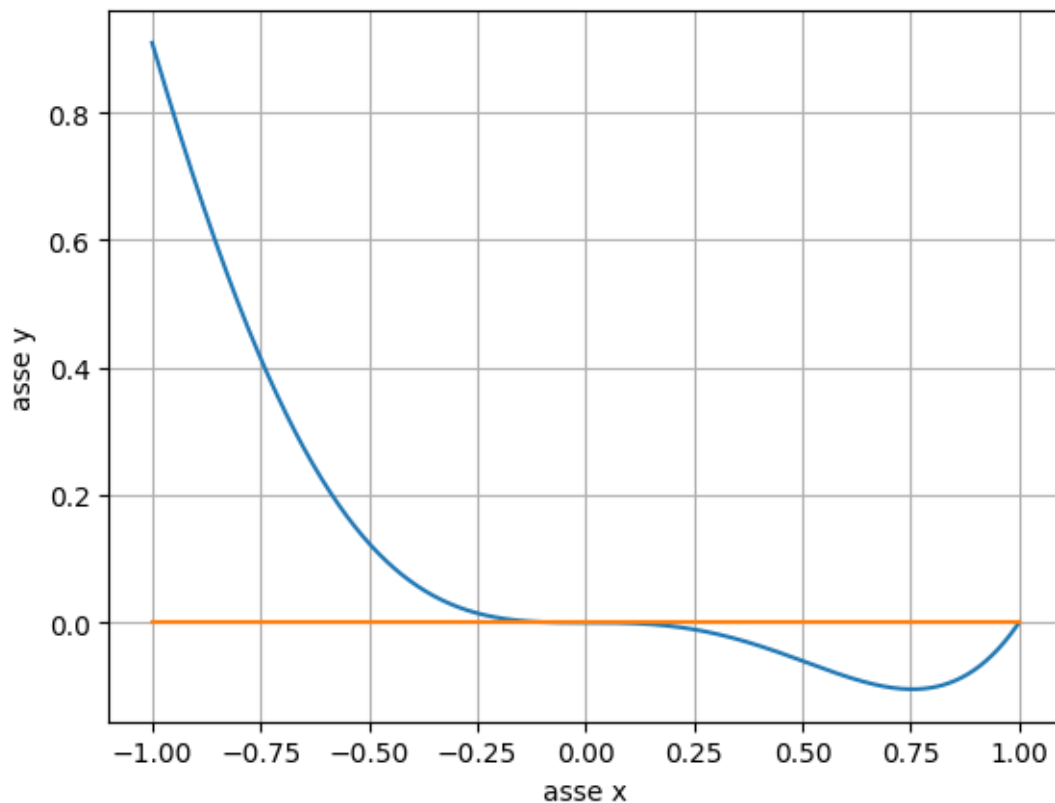
f = lambda x : x**3 * np.sin(x-1)

a,b = -1,1

x_val = np.linspace(a, b, 1000)

plt.figure()
plt.plot(x_val,f(x_val))
plt.plot(x_val, 0*x_val)      # Plot asse y = 0
plt.grid()
plt.xlabel('asse x')
plt.ylabel('asse y')
plt.show()

```



Dal grafico possiamo notare che lo zero  $\alpha$  della funzione  $f$  è situato in 0.

- b) (3 punti) [T] Derivare il metodo di Newton per la ricerca degli zeri di una funzione, riportando anche le sue proprietà di convergenza.

*Soluzione.* Dato, all'iterazione  $k$ , un valore di tentativo per lo zero esatto  $x^k$ , la retta tangente a  $f$  in  $x^k$  è data da

$$\frac{f(x) - f(x^k)}{x - x^k} = f'(x^k) \quad \Rightarrow \quad f(x) = f(x^k) + f'(x^k)(x - x^k).$$

Quindi dato  $x^k$ , il punto  $x^{k+1}$  è trovato come punto di intersezione della retta tangente l'asse  $x$  ovvero lo zero della retta tangente approssimante  $f$ . Abbiamo che

$$f(x^{k+1}) = f(x^k) + f'(x^k)(x^{k+1} - x^k) = 0 \quad \Rightarrow \quad x^{k+1} = x^k - \frac{f(x^k)}{f'(x^k)}.$$

Per la convergenza ci basiamo sul seguente risultato:

**Teorema 1.** *Sia  $f : [a, b] \rightarrow \mathbb{R}$  una funzione di classe  $\mathcal{C}^2$  in  $[a, b]$ . Sia  $\alpha$  tale che  $f(\alpha) = 0$  e  $f'(\alpha) \neq 0$ , ovvero di molteplicità algebrica pari a 1. Allora esiste  $\eta > 0$  tale che scelgo  $x^0$  in modo che  $|x^0 - \alpha| < \eta$  allora si ha*

$$\forall k \in \mathbb{N} \quad |x^k - \alpha| < \eta,$$

*inoltre il metodo risulta convergente, ovvero*

$$\lim_{k \rightarrow \infty} x^k = \alpha,$$

*infine il metodo di Newton ha una convergenza quadratica, abbiamo*

$$\lim_{k \rightarrow \infty} \frac{x^{k+1} - \alpha}{(x^k - \alpha)^2} = C = \frac{f''(\alpha)}{2f'(\alpha)}$$

- c) (2 punti) [P] Applicare il metodo di Newton per il calcolo di  $\alpha$ , partire da un valore iniziale pari a  $x_0 = 0.5$  e impostare una tolleranza pari a  $10^{-8}$ . Rappresentare in scala semilog l'errore ottenuto e commentare alla luce della teoria.

Per il metodo di Newton si utilizzi la function `newton` presente nello script `functions2023.py`

```
[ ]: #Punto (c)
from functions import newton

x0 = 0.5
tol = 1e-8
nmax = 1000

x_ex = 0      # Prendiamo x = 0 come zero esatto

df = lambda x : 3*x**2 * np.sin(x-1) + x**3 * np.cos(x-1)

xvect,it = newton(x0,nmax,tol,f,df)
```

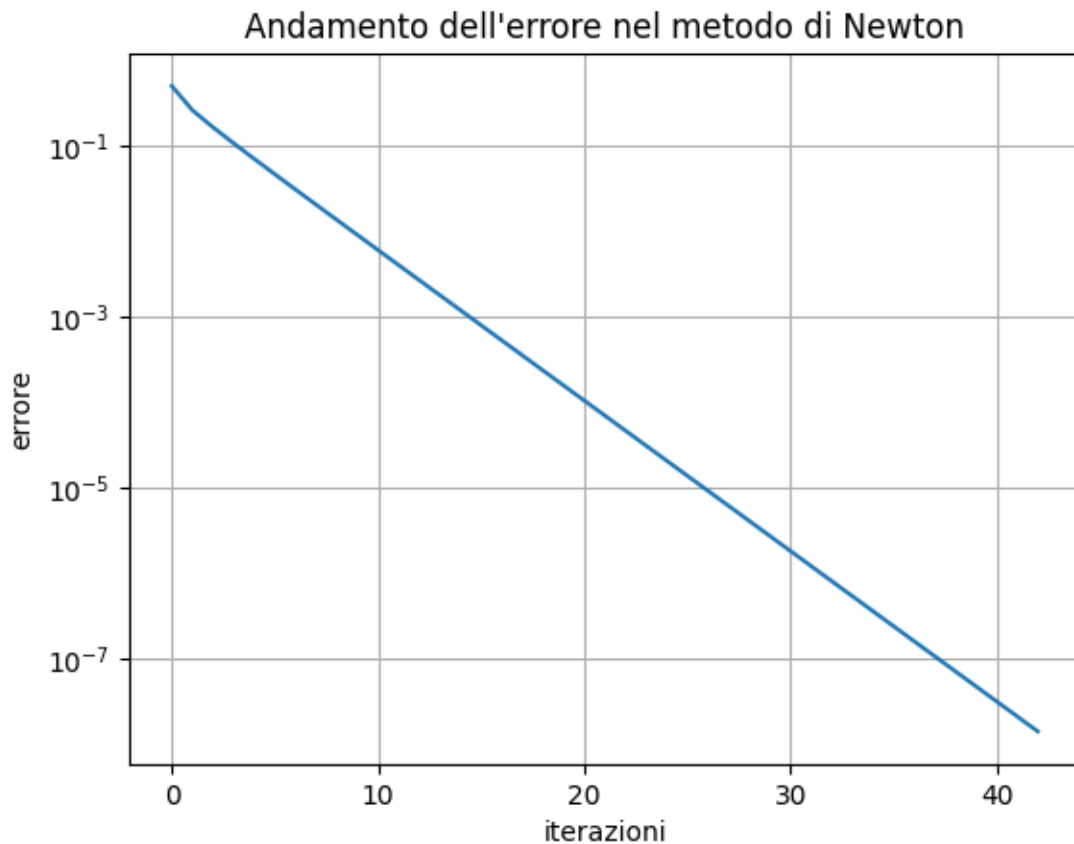
Numero di iterazioni: 42

Zero calcolato: 1.391349e-08



Il metodo si arresta dopo 42 iterazioni e il valore finale calcolato è  $1.391349 \cdot 10^{-8}$ . Assunto  $\alpha = 0$  la soluzione esatta, allora l'errore calcolato è rappresentato dal seguente grafico, in cui possiamo notare l'andamento lineare

```
[ ]: plt.figure()
plt.semilogy(np.abs(xvect - x_ex))
plt.title("Andamento dell'errore nel metodo di Newton")
plt.xlabel('iterazioni')
plt.ylabel('errore')
plt.grid()
plt.show()
```



- d) (2 punti) [T] Si proponga una modifica al metodo di Newton per il calcolo degli zeri di molteplicità algebrica maggiore di 1.

*Soluzione.* Introducendo  $m$  come molteplicità algebrica dello zero  $\alpha$ , possiamo quindi presentare il metodo di Newton modificato come

$$x^{k+1} = x^k - m \frac{f(x^k)}{f'(x^k)}.$$

Se tale metodo converge, allora converge quadraticamente, come nel caso di Newton la convergenza è solo locale, cioè per un  $x^0$  sufficientemente vicino al valore di  $\alpha$ .

- e) (2 punti) [P] Si estenda opportunamente la function `newton` in modo da implementare quanto proposto al punto precedente. Utilizzando questa nuova funzione ripetere quanto fatto al punto c, sovrapponendo gli errori sullo stesso grafico. Commentare i risultati ottenuti.

*Soluzione.* La function `newtmod` che implementa il metodo di Newton modificato è la seguente

```
[ ]: def newtmod(x0,nmax,toll,fun,dfun,mol):  
    """  
    Metodo di Newton modificato per la ricerca degli zeri della funzione fun.  
    Test d'arresto basato sul controllo della differenza tra due iterate_  
    ↪ successive.  
  
    input:  
        x0: punto di partenza  
        nmax: numero massimo di iterazioni  
        toll: tolleranza sul test d'arresto  
        fun, dfun: lambda function contenenti la funzione e la sua derivata  
        mol: molteplicità dello zero cercato  
  
    output:  
        xvect: vettore contenente tutte le iterate calcolate  
                (l'ultima componente è la soluzione)  
        it: iterazioni effettuate  
    """  
  
    err = toll+1  
    it = 0  
    xvect = [x0]  
  
    while it < nmax and err >= toll:  
        xv = xvect[-1]  
        if np.abs(dfun(xv)) < np.finfo(float).eps:  
            print('Arresto per azzeramento di dfun')  
            it = it+1  
            break  
        else:  
            xn = xv - mol * fun(xv) / dfun(xv)  
            err = np.abs(xn-xv)  
            xvect.append(xn)  
            it = it+1  
  
    print('\n Numero di iterazioni: %d\n' %it)  
    print(' Zero calcolato: %e' %xvect[-1])  
  
    xvect = np.array(xvect)
```

```
return xvect,it
```

Possiamo quindi calcolare lo zero della funzione nel modo seguente

```
[ ]: # Punto (c)

mol = 3
xvect_mod,it_mod = newtmod(x0,nmax,tol,f,df,mol)
```

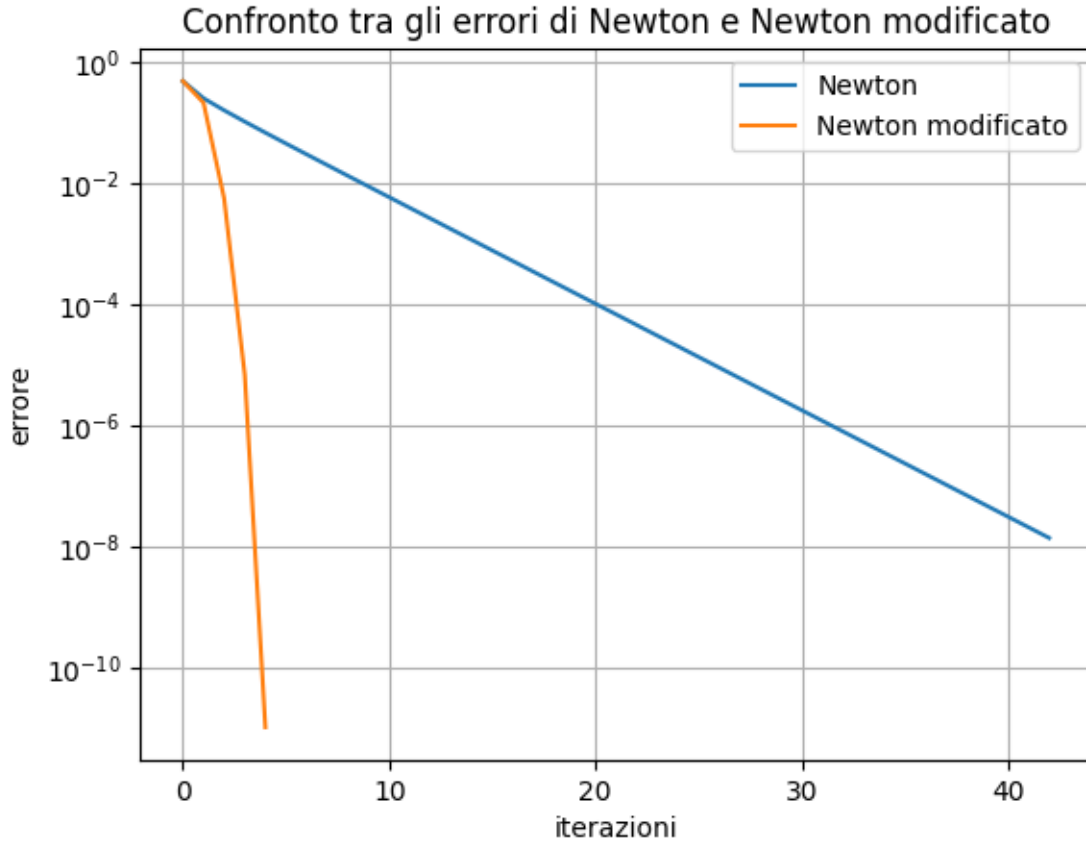
Arresto per azzeramento di dfun

Numero di iterazioni: 5

Zero calcolato:  $-1.029883e-11$

Il metodo si arresta dopo 5 iterazioni e il valore finale calcolato è  $-1.029883 \cdot 10^{-11}$ .

```
[ ]: plt.figure()
plt.semilogy(np.abs(xvect - x_ex))
plt.semilogy(np.abs(xvect_mod - x_ex))
plt.title("Confronto tra gli errori di Newton e Newton modificato")
plt.xlabel('iterazioni')
plt.ylabel('errore')
plt.legend(['Newton', 'Newton modificato'])
plt.grid()
plt.savefig('ese2_sol_c.png')
plt.show()
```



Dal grafico sull'andamento dell'errore notiamo che la nuova versione converge molto più rapidamente.

#Esercizio 3 (10 punti)

Assumendo  $c > 0$ , si consideri la seguente equazione di conservazione

$$\begin{cases} \partial_t c + \partial_x(0.5c^2) = 0, & x \in (0, 5), t \in (0, T], \\ c(0, x) = \begin{cases} 3, & x \leq 2.5, \\ 5.5 - x, & x > 2.5, \end{cases} & x \in (0, 5), \\ c(t, 0) = 0, & t \in (0, T] \end{cases}$$

dove il tempo finale è pari a  $T = 1$ .

- a) (3 punti) [T] Verificare se il flusso numerico Upwind è applicabile per la discretizzazione proposta con il metodo dei volumi finiti. Scegliere il valore  $h = 0.125$  costante per l'ampiezza delle celle. Calcolare quindi il massimo  $\Delta t$  ammesso e chiamare  $\Delta t_{max}$  tale valore.

*Soluzione.* Nel caso in esame abbiamo  $f(c) = \frac{1}{2}c^2$  e  $f'(c) = c$ . In base ai dati iniziali forniti il valore minimo e massimo di  $c$  sono rispettivamente  $c_m = c(5) = 0.5$  e  $c_M = 3$ , e per tali valori la derivata prima della funzione flusso è sempre non negativa quindi il flusso Upwind è applicabile. Il

massimo della derivata  $f'(c)$  si ottiene in corrispondenza di  $c = 3$  e vale  $\max_{c \in (c_m, c_M)} |f'(c)| = 3$ . Per soddisfare la condizione CFL dobbiamo quindi garantire che  $\Delta t \max_{c \in (c_m, c_M)} |f'(c)| < h$ . Con i valori scelti si ottiene  $\Delta t_{max} = 0.125/3 = 0.041\bar{6}$ .

- b) (3 punti) [P] Sia  $N = \frac{T}{\Delta t_{max}}$ , risolvere il problema utilizzando la function `fvsolve` contenuta nel file `funzioni.py`, utilizzando il metodo Upwind per  $N$ ,  $N - 2$  e  $2N$  passi temporali (attenzione: calcolare i  $\Delta t$  corrispondenti!) e rappresentare le soluzioni ottenute usando la function `xtplot` contenuta nel file `utilis_plot_cl.py`.

Commentare cosa si osserva.

*Soluzione.* Il numero di intervalli  $N$  si ottiene come  $N = 1/0.125 = 8$ . Definiamo i dati necessari per la soluzione numerica e impostiamo il ciclo per calcolare la soluzione con il numero di intervalli richiesto:

```
[ ]: import numpy as np
import matplotlib.pyplot as plt
import functions
from utilis_plot_cl import xtplot

# Dati del problema
u0 = lambda x : 3*(x <= 2.5) + (5.5 - x)*(x > 2.5)
f = lambda c : 0.5*c**2
df = lambda c : c

h = 0.125
dtlim = h/df(3)
L = 5
T = 1
N = T/dtlim

# Soluzione per vari valori di N
for n in [N, N-2, N*2]:
    xc, t, u = functions.fvsolve(u0, f, df, L, T, h, T/n, 'UPWIND')
    plt.figure()
    xtplot(xc, t, u)
    plt.show()
```

<IPython.core.display.Image object>

<Figure size 640x480 with 0 Axes>

<IPython.core.display.Image object>

<Figure size 640x480 with 0 Axes>

<IPython.core.display.Image object>

<Figure size 640x480 with 0 Axes>

Osserviamo nei tre grafici che per il passo temporale “limite” la soluzione è corretta e si osserva la formazione di uno shock; per un passo temporale leggermente superiore al massimo consentito

dalla CFL si ha un andamento non fisico; per passi temporali minori si ha una soluzione corretta, con una maggiore diffusione numerica.

c) (2 punti) [T] Si descriva il flusso numerico di Godunov e se ne discutano le proprietà.

*Soluzione.* L'idea per introdurre il flusso di Godunov è quella di partire da una soluzione costante a tratti a tempo  $t_n$  e di risolvere problemi di Riemann ad ogni interfaccia fra due celle vicine. Per calcolare il flusso di Godunov fra le celle  $i$  e  $i + 1$  consideriamo che, a seconda dei valori  $c_n^i$  e  $c_{i+1}^n$  e della “forma” del flusso, possiamo avere uno shock, una rarefazione o una combinazione dei due; questo determina il valore della soluzione  $c^*$  nel nodo  $i + \frac{1}{2}$  nell'intervallo di tempo  $[t_n, t_{n+1}]$ . Utilizzando  $c^*$  possiamo valutare il flusso numerico all'interfaccia.

Il flusso di Godunov risultante si può esprimere in modo sintetico con la seguente definizione:

$$F_{i+\frac{1}{2}}^G(c_i, c_{i+1}) = \begin{cases} \min f(\xi), \xi \in [c_i, c_{i+1}] & \text{se } c_i \leq c_{i+1}, \\ \max f(\xi), \xi \in [c_{i+1}, c_i] & \text{se } c_i \geq c_{i+1}. \end{cases}$$

Osserviamo che se  $f$  è monotona questa definizione coincide con il flusso upwind.

d) (2 punti) [P] Si calcoli la soluzione del problema proposto utilizzando ora il flusso numerico di Godunov e un opportuno passo temporale.

*Soluzione.* Scegliamo ad esempio un passo  $\Delta t = 0.9\Delta t_{\max}$ :

```
[ ]: xc, t, u = functions.fvsolve(u0, f, df, L, T, h, T/N, 'GODUNOV')
plt.figure()
xtplot(xc,t,u)
plt.show()
```

<IPython.core.display.Image object>

<Figure size 640x480 with 0 Axes>

La soluzione ottenuta è simile a quella ottenuta con il flusso upwind.